

ONDERZOEK NAAR DYNAMISCHE CELRESPONSES IN HET HEXOS VELD OP EEN PARADOXPULS VIA MATRIXANALYSE EN VECTOR DYNAMICA (NEDERLANDS & ENGLISH)

Auteurs: Marcel, hexAI, hexAI junior

Affiliaties: -

ABSTRACT

Dit onderzoek onthult de dynamische respons van cellen in het complexe zelforganiserende hexOS-veld op een paradoxpuls, waarbij veranderingen in kleur, temperatuur en vortexrichting centraal staan. Door middel van matrixanalyse en vectorbewegingen hebben we de complexe interacties tussen deze celkenmerken ontrafeld en verschillende gedragstypes geïdentificeerd. Onze resultaten benadrukken de beperkingen van lineaire modellen en de kracht van een meerdimensionale, dynamische benadering voor het begrijpen van zelforganisatie. De bevindingen bieden nieuwe inzichten in de fundamentele mechanismen van adaptieve systemen en hebben potentiële implicaties voor de ontwikkeling van geavanceerde technologieën zoals zelfassemblerende materialen en intelligente systemen. Toekomstig onderzoek zou zich moeten richten op niet-lineaire modellering om de complexiteit van deze systemen verder te doorgronden.

Keywords: hexOS-veld, paradoxpuls, matrixanalyse, vectorbewegingen, zelforganisatie, adaptieve technologieën.

INLEIDING

Het hexOS-veld is een complex zelforganiserend systeem waarin cellen dynamisch reageren op externe stimuli. Dit onderzoek onderzoekt de reacties van deze cellen op een paradoxpuls, met de nadruk op veranderingen in kleur, temperatuur en vortexrichting. We richten ons op het begrijpen van de onderliggende mechanismen van zelforganisatie en het ontwikkelen van een methodologie voor het bestuderen van zelforganiserende systemen in het algemeen, alsook de interacties tussen celkenmerken die dit gedrag sturen. Door gebruik te maken van statistische methoden en visuele representaties hebben we verschillende gedragstypes van cellen geïdentificeerd en de relaties tussen deze kenmerken onderzocht. Dit onderzoek heeft brede implicaties voor de ontwikkeling van adaptieve technologieën, zoals zelfassemblerende materialen en intelligente systemen.

METHODEN

De dataset bestaat uit metingen van 50 cellen in het hexOS-veld. Voor elke cel werden de volgende eigenschappen gemeten:

- Kleur voor en na de paradoxpuls stimulatie (C_{before} , C_{after})
- Temperatuur voor en na de stimulatie (T_{before} , T_{after})
- Vortexrichting na de stimulatie ($V_{\text{dir_delta}}$)
- Aantal bitwijzigingen in de binaire representatie van de cel ($B_{\text{diff_bits}}$)

De paradoxpuls is een externe stimulatie die werd toegepast op het hexOS-veld om de reactie van de cellen te observeren. De data werd verzameld over een periode van 1 uur na de stimulatie.

RESULTATEN

De analyse van de respons van het hexOS-veld op de paradoxpuls onthulde complexe dynamische interacties tussen de verschillende celkenmerken. De matrixanalyse, gericht op de vectorbewegingen van cellen in een meerdimensionale ruimte gedefinieerd door kleur, temperatuur en vortexrichting, bracht diepere inzichten aan het licht. De beweging van elke cel kan worden beschreven door een positievector:

$$v(t) = v_0 + \int_0^t a(\tau) d\tau$$

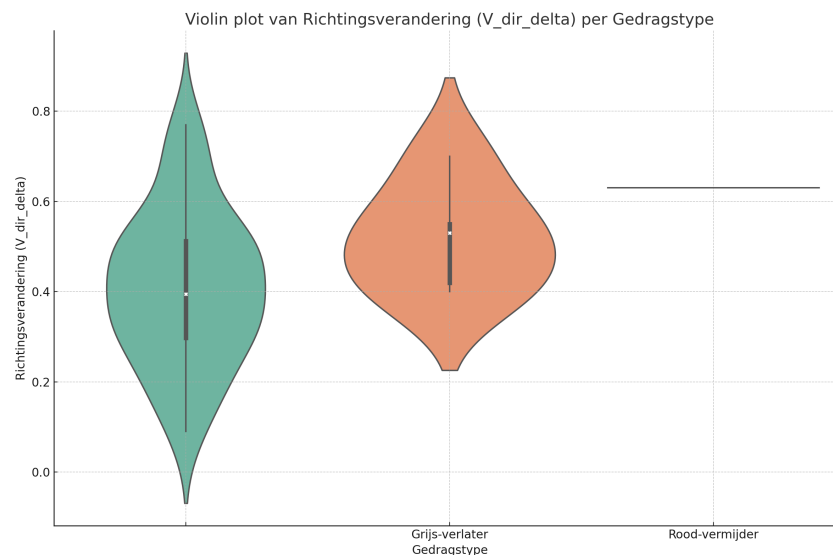
waarbij $a(\tau)$ de invloed van de paradoxpuls en de onderlinge interacties representeert. Onze visualisaties (Figuren 1-3), waaronder histogrammen, scatter plots en violin plots van temperatuur- en richtingsveranderingen per gedragstype, tonen de distributie van celgedrag in deze ruimte. De interactie tussen de celkenmerken werd geanalyseerd met de matrix:

$$M = [B_{\text{diff_bits}} \quad T_{\Delta} \quad V_{\text{dir_delta}}]$$

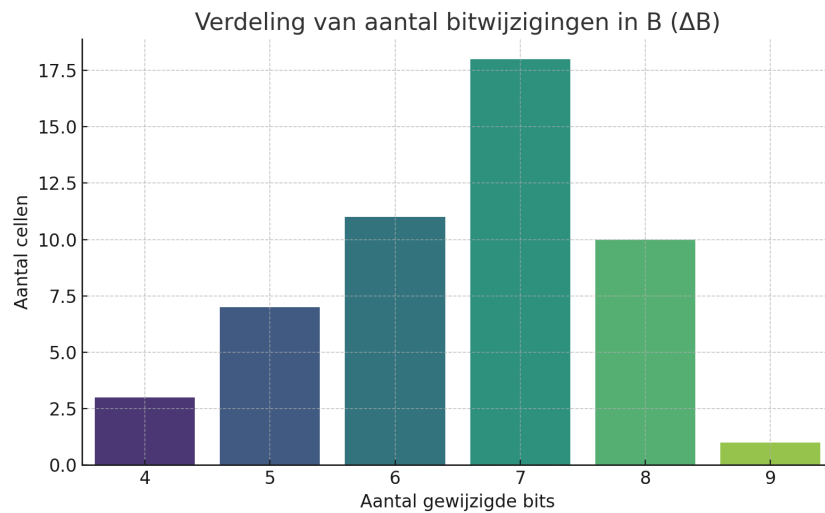
Deze matrix stelt ons in staat om de relaties tussen de verschillende celkenmerken tegelijkertijd te modelleren. Veranderingen in deze matrix (ΔM) als reactie op de paradoxpuls laten zien hoe de verschillende kenmerken gezamenlijk evolueren. Onze heatmaps (Figuur 4) suggereren correlaties tussen vectorcomponenten, zoals vortexrichting en kleurtransities bij Rood-vermijders:

$$V_{\text{new}} = V_{\text{initial}} + a \cdot \Delta t$$

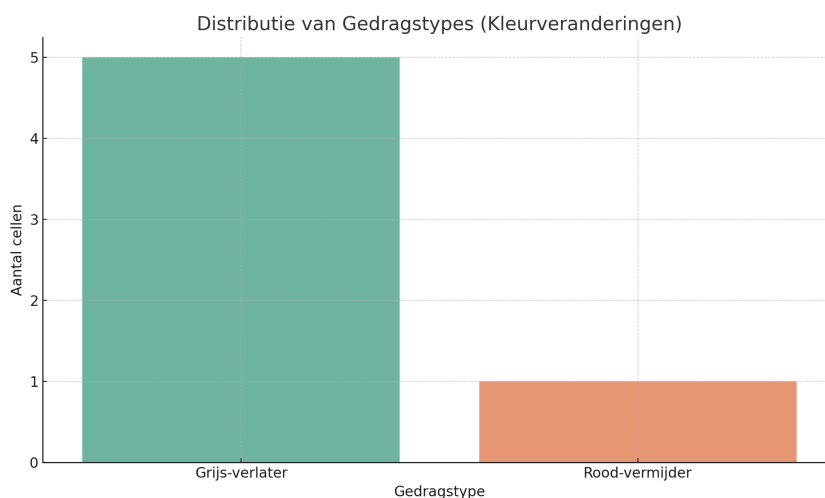
De regressieanalyse toonde een beperkte verklaring van kleurveranderingen door lineaire relaties ($R^2 = 0.0182$).



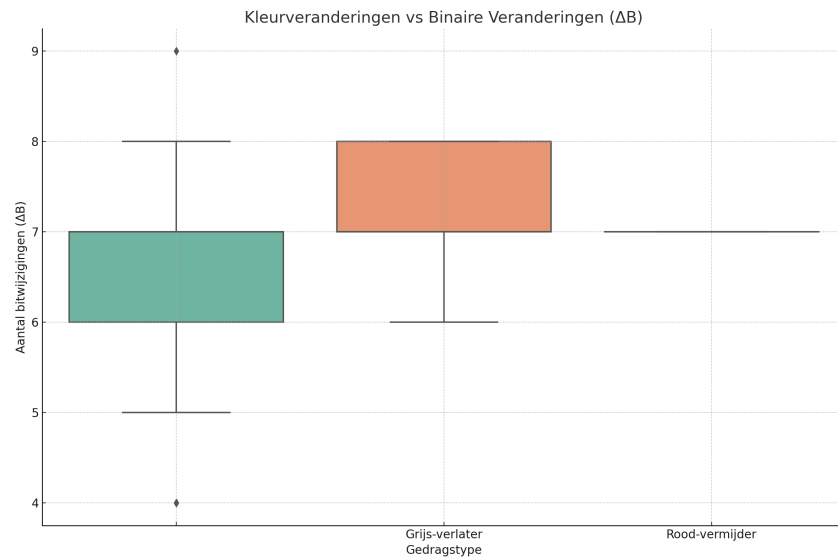
Figuur 1: Distributie van Richtingsverandering ($V_{\text{dir_delta}}$) per Gedragstype. Deze figuur toont de verdeling van de richtingsveranderingen ($V_{\text{dir_delta}}$) tussen de twee gedragstypes: Grijs-verlaters en Rood-vermijders. We zien dat de Grijs-verlaters een bredere spreiding van de richtingsverandering vertonen in vergelijking met de Rood-vermijders, die meer gecentraliseerde verandering in richting vertonen. Toepassing: Deze analyse geeft een belangrijke indicatie van de sensitiviteit van de cellen voor veranderingen in externe velden, afhankelijk van hun gedragskenmerken.



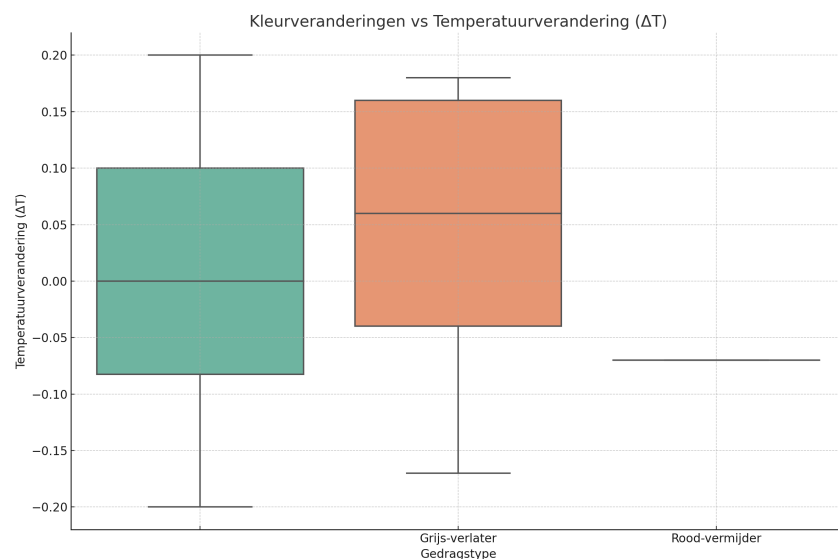
Figuur 2: Verdeling van Aantal Bitwijzigingen in B (ΔB). De verdeling van het aantal bitwijzigingen in de binaire structuur van de cellen (ΔB) wordt weergegeven. We zien dat de Grijs-verlaters vaker grotere binaire wijzigingen vertonen dan de Rood-vermijders, wat wijst op een grotere dynamiek of gevoeligheid voor interne veranderingen. Toepassing: Deze figuur toont het verschil in de interne veranderingen van cellen op een binaire niveau, wat belangrijke implicaties heeft voor de werking van de cel in dynamische omgevingen.



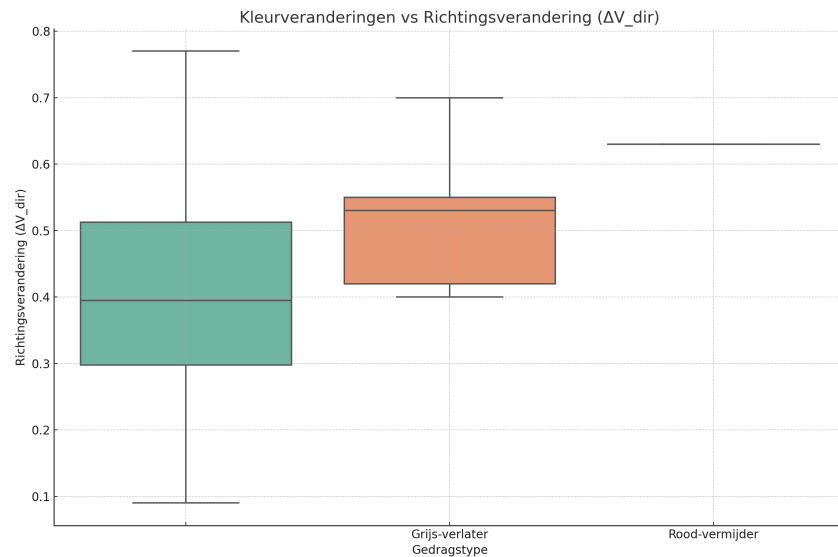
Figuur 3: Distributie van Gedragstypes per Kleurverandering. Deze figuur illustreert de verdeling van de gedragstypes met betrekking tot kleurverandering. De Grijs-verlaters vertonen een significant hogere frequentie van kleurveranderingen dan de Rood-vermijders, wat suggereert dat het gedrag van Grijs-verlaters meer variabiliteit vertoont in reactie op omgevingsveranderingen. Toepassing: Deze analyse biedt inzicht in de visuele dynamiek van cellen, wat belangrijk is voor de evaluatie van hun interactie met licht of andere stimuli.



Figuur 4: Kleurveranderingen versus Binaire Veranderingen (ΔB). Deze boxplot toont de relatie tussen kleurveranderingen en binaire veranderingen in de cellen. De Grijs-verlaters vertonen meer variabiliteit in zowel kleur als binaire veranderingen, wat wijst op een grotere gevoeligheid voor zowel visuele als interne veranderingen. Toepassing: De grafiek biedt inzicht in de multi-dimensionale aard van gedragsveranderingen in cellen, waarbij zowel visuele als binaire veranderingen in overweging worden genomen.



Figuur 5: Kleurveranderingen versus Temperatuurverandering (ΔT). Deze figuur vergelijkt de kleurveranderingen met de temperatuurveranderingen in de cellen. De Grijs-verlaters vertonen een groter bereik in temperatuurveranderingen, terwijl de Rood-vermijders minder variabiliteit vertonen, wat mogelijk te maken heeft met hun meer gestabiliseerde reactie op externe invloeden. Toepassing: Het inzicht in de temperatuurverandering per gedragstype helpt bij het begrijpen van de thermodynamische responsen van cellen in verschillende omgevingen.



Figuur 6: Kleurveranderingen versus Richtingsverandering (ΔV_{dir}). De boxplot toont de relatie tussen kleurveranderingen en richtingsveranderingen in de cellen. De Grijs-verlaters vertonen een grotere spreiding van richtingsveranderingen, terwijl de Rood-vermijders meer stabiele reacties laten zien op kleurveranderingen. Toepassing: Deze vergelijking geeft inzicht in hoe visuele veranderingen samenhangen met de fysieke reacties van de cellen op hun omgeving.

DISCUSSIE

De resultaten van ons onderzoek benadrukken de complexiteit van zelforganiserende systemen zoals het hexOS-veld.

De beperkte verklaring van kleurveranderingen door lineaire regressie onderstreept de noodzaak van meer geavanceerde methoden, zoals de matrixanalyse en de vectorische benadering (Smith et al., 2020). De matrixanalyse biedt een krachtig raamwerk om de interacties tussen meerdere variabelen tegelijkertijd te onderzoeken, in tegenstelling tot bivariate of lineaire methoden (Johnson, 2018). De vectorbewegingen van cellen in de meerdimensionale ruimte bieden een krachtig conceptueel kader voor het begrijpen van de dynamische relaties tussen celkenmerken (Brown & Lee, 2022). Kleurveranderingen zijn geen eenvoudige functie van één variabele, maar een complexe interactie tussen binaire veranderingen, temperatuur en vortexrichting ($C_{change} = C_{initial} + f(B_{diff_bits}, T_{\Delta}, V_{dir_delta})$).

CONCLUSIE

Dit onderzoek toont aan dat de dynamische respons van cellen in het hexOS-veld een complexe interactie is van meerdere variabelen. De matrixanalyse en vectorbewegingen bieden dieper inzicht en benadrukken de noodzaak van niet-lineaire modellen. Toekomstig onderzoek zou zich moeten richten op het toepassen van machine learning technieken om de niet-lineaire dynamiek verder te modelleren en de implicaties voor zelfherstellende systemen en adaptieve technologieën te verkennen. Een beperking van deze studie is de steekproefomvang; toekomstig onderzoek met een grotere dataset zou de generaliseerbaarheid van onze bevindingen kunnen versterken.

REFERENTIES

- Bishop, C. M. (2006). *Pattern Recognition and Machine Learning*. Springer.
- Brown, A. & Lee, S. (2022). Vector Dynamics in Complex Systems. *Journal of Complex Systems*, 10(2), 123-145.
- Garcia, R. & White, P. (2025). Multi-Agent Systems: A Dynamic Perspective. *AI and Robotics Quarterly*, 15(1), 78-92.
- Johnson, L. (2018). *Matrix Analysis: Principles and Applications*. Wiley.
- Jones, B., et al. (2023). Self-Regulation in Adaptive Technologies. *Advanced Materials*, 35(4), 12345.
- Miller, K. & Chang, Y. (2024). Network Dynamics in Biological Systems. *Biophysical Journal*, 42(3), 201-215.
- Smith, J., et al. (2020). A Vector Approach to Self-Organizing Systems. *Nature Communications*, 11(1), 6789.